

# 基于连续 Hopfield 网络的反导火力分配优化

方逸洪<sup>1</sup>, 李为民<sup>1</sup>, 周晓光<sup>1</sup>, 钟秋<sup>2</sup>

(1. 空军工程大学导弹学院, 陕西 三原 713800; 2. 空军装备部, 北京 100843)

**摘要** 为缩短防空火力分配模型解算时间, 提高防空火力分配的鲁棒性, 应用 Hopfield 神经网络对反导火力分配问题进行了研究。以反导火力分配为研究对象, 建立了反导火力分配模型, 以提高反导战场管理的智能化。提出了基于连续 Hopfield 神经网络的反导火力分配优化算法, 并对该算法进行了收敛性和稳定性分析; 最后应用实例验证了模型的有效性。

**关键词** 神经网络; 反导; 火力分配

**DOI** 10.3969/j.issn.1009-3516.2011.06.007

**中图分类号** TP183 **文献标识码** A **文章编号** 1009-3516(2011)06-0032-07

反导火力的最优分配是反导战场管理的重要内容之一。反导火力分配主要指反导火力平台对攻击目标的分配。实际作战中, 通常都是多个反导火力平台对多个目标(或目标群)进行火力攻击的, 这就需要确定各火力单位在给定时间内的攻击目标, 更广义地讲, 还应指明反导火力平台对目标射击的弹药量或射击次数。反导火力最优分配就是在给定的约束条件下, 充分发挥诸反导火力平台的整体协调优势, 使总的射击效果最好。针对反导火力分配问题, 文献[1]应用机会约束规划研究了编队反导火力分配问题; 文献[2]研究了反导火力平台对目标射击的射击次数问题; 在应用 Hopfield 网络求解火力分配方面, 文献[3]研究了基于神经网络 TSP(Tracelnag Salesman Problem, TPS)的防空作战火力分配问题, 对于缩短防空火力分配模型解算时间, 提高防空火力分配的鲁棒性具有重要意义。由于反导火力分配不同于防空火力分配, 有其自身特点, 连续 Hopfield 神经网络具有在求解约束问题上具备很强的鲁棒性和容错性, 是一种并行处理方法, 使计算加快等特点, 因此, 本文应用 Hopfield 神经网络对反导火力分配问题进行研究。

## 1 反导作战火力分配问题的数学模型

假定空中 TBM 目标组成的集合为  $K$ ; 反导武器平台组成的集合为  $M$ ; 反导武器平台 ( $m \in M$ ) 对 TBM 目标 ( $k \in K$ ) 的单发杀伤概率为  $P_{km}$ ; 决策向量  $Y = \{Y_{km} \in \mathbf{Z}^+\}$ , 式中  $Y_{km}$  为决策变量, 描述武器平台  $m \in M$  对 TBM 目标  $k \in K$  进行拦截所使用的拦截弹数量; TBM 目标  $k \in K$  的威胁程度为  $S_k$ 。根据以上定义可以定义反导火力分配模型的目标函数为:

$$J(Y) = \sum_{k=1}^K S_k \prod_{m=1}^M (1 - P_{km})^{Y_{km}} \quad (1)$$

根据反导作战的实际情况, 反导火力分配模型的约束条件主要有 5 个:

1) 对于 TBM 目标  $k \in K$ , 考虑达到预先设定的杀伤概率和费用因素, 设定 TBM 目标  $k \in K$  允许被拦截次数的最小值为  $r_k$ , 最大值为  $R_k$ , 约束式为:

$$Z_1(k) = \left( \sum_{m=1}^M Y_{km} \right) - r_k \geq 0, \forall k \in K \quad (2)$$

\* 收稿日期: 2011-05-12

基金项目: 国家“863”计划资助项目(2009AA701XXX)

作者简介: 方逸洪(1981-), 女, 浙江宁波人, 博士生, 主要从事防空反导作战运筹分析. E-mail: lance\_fang@163.com

$$Z_2(k) = \left( \sum_{m=1}^M \sum_{n=1, n \neq m}^M Y_{km} Y_{kn} \right) - R_k(R_k - 1) \leq 0, \forall k \in K \quad (3)$$

2) 反导武器平台  $m \in M$  可用拦截弹数量的限制, 假定反导武器平台  $m \in M$  的可用拦截弹数量为  $B_m$ , 则建立约束式为:

$$Z_3(m) = \left( \sum_{k=1}^K \sum_{l=1, l \neq k}^K Y_{km} Y_{lm} \right) - B_m(B_m - 1) \leq 0, \forall m \in M \quad (4)$$

3) 可用拦截弹数量采用最大化原则, 因此, 其限制主要有2个, 一是条件1) 中 TBM 目标  $k \in K$  允许被拦截次数最大值限制  $\sum_{k=1}^K R_k$ , 二是武器平台  $m \in M$  可用拦截弹数量限制  $\sum_{m=1}^M B_m$ , 建立约束条件为:

$$Z_4 = \left( \sum_{k=1}^K \sum_{m=1}^M Y_{km} \right) - \varphi \leq 0, \varphi = \min \left( \sum_{k=1}^K R_k, \sum_{m=1}^M B_m \right) \quad (5)$$

4) 采用射击 - 观察 - 射击策略, 因此对于 TBM 目标  $k \in K$ , 仅采用一枚拦截弹进行拦截, 建立约束条件为:

$$Z_5 = \sum_{k=1}^K \sum_{m=1}^M Y_{km} (1 - Y_{km}) = 0 \quad (6)$$

5) 在条件4) 的限制下, 武器平台  $m \in M$  可对多个目标进行拦截。

根据以上约束条件, 修改反导火力分配模型的目标函数为:

$$J(Y) = \sum_{k=1}^K S_k \prod_{m=1}^M (1 - P_{km} Y_{km}) \quad (7)$$

建立反导火力分配模型为:

$$J(Y) = \sum_{k=1}^K S_k \prod_{m=1}^M (1 - P_{km} Y_{km})$$

$$\text{s. t. } \begin{cases} Z_1(k) = \left( \sum_{m=1}^M Y_{km} \right) - r_k \geq 0, \forall k \in K \\ Z_2(k) = \left( \sum_{m=1}^M \sum_{n=1, n \neq m}^M Y_{km} Y_{kn} \right) - R_k(R_k - 1) \leq 0, \forall k \in K \\ Z_3(m) = \left( \sum_{k=1}^K \sum_{l=1, l \neq k}^K Y_{km} Y_{lm} \right) - B_m(B_m - 1) \leq 0, \forall m \in M \\ Z_4 = \left( \sum_{k=1}^K \sum_{m=1}^M Y_{km} \right) - \varphi \leq 0, \varphi = \min \left( \sum_{k=1}^K R_k, \sum_{m=1}^M B_m \right) \\ Z_5 = \sum_{k=1}^K \sum_{m=1}^M Y_{km} (1 - Y_{km}) = 0 \end{cases} \quad (8)$$

## 2 反导作战火力分配模型的 Hopfield 神经网络匹配

为方便进行网络匹配, 采用连续变量  $\mathbf{X}(t) = \{X_{km}(t) \in (0, 1)\}, k \in K, m \in M$  替换原离散决策向量  $\mathbf{Y}$ , 且称由  $\mathbf{X}(t)$  构成的空间  $D_x$  为欧几里得 KM 空间。式中  $X_{km}$  为神经元的输出信号,  $X_{km}$  的值显示了对 TBM 目标  $k \in K$  分配火力平台  $m \in M$  的趋势;  $t$  是独立的时间变量, 对应神经动力学时间。

神经网络神经元输入向量定义为  $\mathbf{U}(t) = \{U_{km}(t) \in \mathbf{R}\}, \forall k \in K, m \in M$ , 且由  $\mathbf{U}(t)$  构成的空间  $D_u$  为欧几里得 KM 空间。

根据以上定义, 每个神经元的特性取 S 形函数, 其公式为:

$$X_{km} = 0.5 \left[ 1 + \tanh \left( \frac{U_{km}}{U_{00}} \right) \right] \quad (9)$$

式中  $U_{00}$  为增益系数。

神经网络可以看成是一种非线性的动力学系统, 称为神经网络动力学<sup>[4-5]</sup>。当神经网络状态向量  $\mathbf{X}(t)$

到达稳态或者平衡态时,便获得了火力分配的一组方案,此时每个神经元的输出值为0或者1,定义最终到达稳态时的输出向量  $\mathbf{X}^e$  为:

$$\lim_{t \rightarrow \infty} X_{km}(t) = X_{km}^e = \begin{cases} 1 & , \text{武器 } m \text{ 分配给目标 } k \\ 0 & , \text{武器 } m \text{ 未分配给目标 } k \end{cases} \quad (10)$$

式中  $\mathbf{X}^e$  构成的集合为  $\Omega_x$ 。

应用变量  $\mathbf{X}(t) = \{X_{km}(t) \in (0,1)\}, k \in K, m \in M$  替换原离散决策向量  $\mathbf{Y}$ ,反导火力分配模型为:

$$J(\mathbf{X}) = \sum_{k=1}^K S_k \prod_{m=1}^M (1 - P_{km} X_{km}) \quad (11)$$

$$\left. \begin{array}{l} \text{s. t.} \\ Z_1(k) = \left( \sum_{m=1}^M X_{km} \right) - r_k \geq 0, \forall k \in K \end{array} \right\} \quad (12)$$

$$Z_2(k) = \left( \sum_{m=1}^M \sum_{n=1, n \neq m}^M X_{km} X_{kn} \right) - R_k(R_k - 1) \leq 0, \forall k \in K \quad (13)$$

$$Z_3(m) = \left( \sum_{k=1}^K \sum_{l=1, l \neq k}^K X_{km} X_{lm} \right) - B_m(B_m - 1) \leq 0, \forall m \in M \quad (14)$$

$$Z_4 = \left( \sum_{k=1}^K \sum_{m=1}^M X_{km} \right) - \varphi \leq 0, \varphi = \min \left( \sum_{k=1}^K R_k, \sum_{m=1}^M B_m \right) \quad (15)$$

$$Z_5 = \sum_{k=1}^K \sum_{m=1}^M X_{km} (1 - X_{km}) = 0 \quad (16)$$

由于反导火力分配问题是 NP 问题,求解的计算量特别大以致不能接受。因此,有必要放松对优化的要求,具体办法就是把目标函数式(11)和约束条件式(12) - (16)统一,作为一个多目标优化问题。为完成上述任务,首先定义约束条件式(12) - (16)的能量函数  $J_a(\mathbf{X}) : \mathbf{R}^n \rightarrow \mathbf{R}^+$ ,  $a = 1, 2, \dots, 5$  和辅助函数  $f_2(Z)$ 、 $\bar{f}_2(Z)$  如下:

$$J_1 = \frac{1}{2} \sum_{k=1}^K f_2[Z_1(k)] \quad (17)$$

$$J_2 = \frac{1}{2} \sum_{k=1}^K f_2[Z_2(k)] \quad (18)$$

$$J_3 = \frac{1}{2} \sum_{m=1}^M f_2[Z_3(m)] \quad (19)$$

$$J_4 = \frac{1}{2} \sum_{k=1}^K f_2[Z_4(k)] \quad (20)$$

$$J_5 = \frac{1}{2} Z_5 \quad (21)$$

式中  $f_2(\mathbf{Z}) = \mathbf{Z}^2 H(\mathbf{Z})$ ,  $\bar{f}_2(\mathbf{Z}) = \mathbf{Z}^2 H(-\mathbf{Z})$ ,  $H(\mathbf{Z})$  为海维赛德函数。

解多目标优化的方法之一就是采用 Lagrange 乘子方法,把约束问题转化为无约束优化问题,取总能量函数为:

$$E(\mathbf{X}, \lambda) = J(\mathbf{X}) + \sum_{a=1}^5 \lambda_a J_a(\mathbf{X}) \quad (22)$$

式中  $\lambda_a$  为 Lagrange 乘子。

由于  $E$  是一个非凸函数,不能确保所有极值点位于集合  $\Omega_x$  内,因此必须对能量函数  $E$  进行修正,添加 Hopfield 能量修正项  $E_u(\mathbf{X})$ ,即:

$$E^M(\mathbf{X}, \lambda) = E(\mathbf{X}, \lambda) + E_u(\mathbf{X}) \quad (23)$$

式中:  $E_u(\mathbf{X}) = \sum_{k=1}^K \sum_{m=1}^M e_u(X_{km}) = \sum_{k=1}^K \sum_{m=1}^M \frac{1}{\tau} \int_0^{X_{km}} U_{km}(X_{km}) dX_{km} = \sum_{k=1}^K \sum_{m=1}^M \frac{U_{00}}{2\tau} [X_{km} \log X_{km} + (1 - X_{km}) \log(1 - X_{km})]$ ,  $\tau$  为描述神经元时间特性常数,  $e_u(X_{km})$  是在变量  $X_{km}$  上的为非正、连续、有界函数,且在  $X_{km} = 0$  和  $X_{km} = 1$  时,  $e_u(X_{km})$  值最小为  $e_u(X_{km}) = 0$ , 在  $X_{km} = \frac{1}{2}$  时,  $e_u(X_{km})$  值最大。当  $E_u(\mathbf{X})$  项为零时,便可以限制  $E$  极

值点位于集合  $\Omega_x$  内。

根据能量函数  $E^M$ , 可以推导神经元的输入变化方程以及 Lagrange 乘子为:

$$\frac{dX_{km}}{dt} = -\mu(X_{km}) \frac{\partial E^M}{\partial X_{km}} = -\mu(X_{km}) \left[ \frac{\partial E}{\partial X_{km}} + \frac{\partial E_u}{\partial X_{km}} \right], \forall k \in K, m \in M \quad (24)$$

$$\frac{d\lambda_a}{dt} = \frac{\partial E}{\partial \lambda_a} = E_a, \forall a = 1, 2, \dots, 5 \quad (25)$$

式中  $\mu(X_{km})$  为修正函数, 其目的是确保式(24)的轨迹位于空间  $D_x$  内, 采用对式(9)进行求导的方式确定  $\mu(X_{km})$  如下:

$$\mu(X_{km}) = \frac{dX_{km}}{dU_{km}} = \left[ 2U_{00} \cosh^2 \left( \frac{U_{km}}{U_{00}} \right) \right]^{-1} \quad (26)$$

式中  $\mu(X_{km})$  是一个非负函数, 且满足在  $X_{km} = 0$  和  $X_{km} = 1$  处  $\mu(X_{km}) = 0$ 。

为简化计算量, 在求解公式时, 采用  $U$  代替  $X$ , 等式两边除以  $\mu(X)$ , 有:

$$\frac{dU_{km}}{dt} = - \left[ \frac{\partial E}{\partial X_{km}} + \frac{\partial E_u}{\partial X_{km}} \right], \forall k \in K, m \in M \quad (27)$$

式中  $\frac{dX}{dt} = \mu(X) \frac{dU}{dt}$ , 且由于  $X \in (0, 1)$ , 所以  $\mu(X) \neq 0$ 。

在 Lagrange 乘子方法算法的基础上, 采用梯度下降法是求解约束问题的有效方法之一, 可以保证网络状态在整个进化过程中的稳定性, 且使网络状态向  $D_x$  面移动。对  $E, J_1 - J_5$  对  $X_{km}$  求导:

$$\frac{\partial E_u}{\partial X_{km}} = \frac{\partial e_u}{\partial X_{km}} = \frac{U_{km}}{\tau} \quad (28)$$

有:

$$\begin{aligned} \frac{dU_{km}}{dt} = & -\frac{U_{km}}{\tau} - \left\{ -S_k P_{km} \prod_{j=1, j \neq m}^M (1 - P_{kj} X_{kj}) + \lambda_1 f_1 [Z_1(k)] + \right. \\ & 2\lambda_2 f_1 [Z_2(k)] \sum_{j=1, j \neq m}^M X_{kj} + 2\lambda_3 f_1 [Z_3(m)] \sum_{l=1, l \neq k}^K X_{lm} + \\ & \left. \lambda_4 f_1 [Z_4] + 0.5\lambda_5 (1 - 2X_{km})^2 \right\}, \forall k \in K, m \in M \end{aligned} \quad (29)$$

式中:  $f_1(Z) = \frac{1}{2} \frac{df_2}{dZ} = ZH(Z)$ ;  $\bar{f}_1(Z) = \frac{1}{2} \frac{df_2}{dZ} = ZH(-Z)$ 。

方程(9)、(25)、(29)描述了一个神经动力学系统。给定一个神经动力学系统, 必须要考虑2个问题: 一是系统的稳定性和收敛性, 在给定初值  $U_{km}(0), \lambda_a(0)$  的条件下, 当  $t \rightarrow \infty$  系统将收敛于极小化目标函数  $E^M$  的稳定状态  $(U^e, \lambda^e)$ ; 二是如何选择初始条件, 使系统收敛于全局极小值点, 由于目标函数是非凸函数, 因此可能存在多个局部极小值点, 在不同的初始条件下, 可能收敛于不同的局部极小值点, 因此要慎重选择初始条件。

### 3 基于 Hopfield 网络求解反导火力分配的稳定性及收敛性

假定  $X^e \in D_x, \lambda^e \in \mathbf{R}^5$  是方程(9)、(25)、(29)的稳态, 根据自治非线性动力学系统的稳定性和收敛定义<sup>[5-6]</sup>, 可知, 对于任意的正数  $\varepsilon$ , 存在正数  $\delta$ , 当  $\|X(0) - X^e\| < \delta$  时, 对所有的  $t > 0$ , 均有  $\|X(t) - X^e\| < \varepsilon$ , 则称平稳态是稳定的; 如果存在正数  $\delta$  满足  $\|X(0) - X^e\| < \delta$ , 则  $t \rightarrow \infty$  时,  $X(t) \rightarrow X^e$ , 那么称平稳态是渐进稳定的。

Lyapunov 直接方法提供了验证平稳态稳定的方法<sup>[7-9]</sup>, 且不要求解方程(9)、(25)、(29)。设  $V(X, \lambda): \mathbf{R}^{km+5} \rightarrow \mathbf{R}$  在  $(X^e, \lambda^e)$  的邻域内是一个连续可微函数, 且有: ①  $V(X, \lambda) > 0$ , if  $(X, \lambda) = (X^e, \lambda^e)$ ; ②  $\frac{dV}{dt} \leq 0$  in  $\mathbf{R}^{km+5}$ , then  $(X^e, \lambda^e)$  是稳定的。

进一步如果在  $\mathbf{R}^{km+5}$  内,  $\frac{dV}{dt} < 0$ , 那么  $(\mathbf{X}^e, \lambda^e)$  是渐进稳定的。满足条件①、②的函数称为 Lyapunov 函数<sup>[10]</sup>。

考虑标量函数  $E^M(\mathbf{X}, \lambda)$ , 除  $E_u$  项以外, 其组成项均为连续, 可微, 非负函数,  $E_u$  是一个非正函数。为  $E_u$  添加互补正项, 构建非负函数  $V(\mathbf{X}, \lambda)$  为:

$$V(\mathbf{X}, \lambda) = E^M(\mathbf{X}, \lambda) + \sum_{k=1}^K \sum_{m=1}^M \frac{1}{\tau} \int_{\frac{1}{2}}^0 U_{km} dX_{km} = E^M(\mathbf{X}, \lambda) + KM U_{00} \frac{\log 2}{2\tau} > 0 \quad (30)$$

从方程(30)可知,  $V(\mathbf{X}, \lambda)$  满足条件(1), 可以作为 Lyapunov 函数的候选项,  $V(\mathbf{X}, \lambda)$  对  $t$  进行求导有:

$$\frac{dV}{dt} = \sum_{k=1}^K \sum_{m=1}^M \frac{\partial E^M}{\partial X_{km}} \frac{dX_{km}}{dt} + \sum_{a=1}^5 \frac{\partial E^M}{\partial \lambda_a} \frac{d\lambda_a}{dt} \quad (31)$$

根据方程(25)、(27) 带入相关变量  $\frac{dU_{km}}{dt}$  和  $\frac{d\lambda_a}{dt}$  与式(31), 有:

$$\frac{dV}{dt} = - \sum_{k=1}^K \sum_{m=1}^M \frac{dX_{km}}{dU_{km}} \left( \frac{dU_{km}}{dt} \right)^2 + \sum_{a=1}^5 J_a^2 \quad (32)$$

应用式(26)可以计算  $\frac{dX_{km}}{dU_{km}}$ 。在式(32)中右侧第1项为非正项, 第2项为非负项。如果一个稳态满足  $V_1 =$

$\sum_{k=1}^K \sum_{m=1}^M \frac{dX_{km}}{dU_{km}} \left( \frac{dU_{km}}{dt} \right)^2$  大于  $V_2 = \sum_{a=1}^5 J_a^2$ , 那么该稳态便是渐进稳定的。

## 4 仿真分析

神经元的时间常数  $\tau = 1$ ; 增益系数取值  $U_{00} = 0.01$ ; 神经元的输入信号  $U(0)$  选取原则是通过式(9), 令神经元的输出信号  $\mathbf{X}(0) = 0$ ; 时间步长取值  $\Delta t = 10^{-3}$  s; 收敛于稳态的判别准则为输出信号  $X_{km}$  和 Lagrange 乘子  $\lambda_a$  均小于  $10^{-4}$ ; 根据一阶欧拉法计算  $U_{km}^{\text{new}}$  和  $\lambda_a^{\text{new}}$ :  $U_{km}^{\text{new}} = U_{km}^{\text{old}} + \Delta t \left( \frac{dU_{km}}{dt} \right)^{\text{old}}$ ,  $\lambda_a^{\text{new}} = \lambda_a^{\text{old}} + \Delta t [J_a]^{\text{old}}$ 。

考虑一个小规模的作战想定, 设  $K = 6, M = 6$ , 单发杀伤概率见表1。

表1 单发杀伤概率

Tab. 1 Input SSKP matrix

$k$	$m$					
	1	2	3	4	5	6
1	1.00	0.50	0.40	0.60	0.50	0.10
2	0.60	0.40	0.90	0.70	0.30	0.20
3	0.10	0.80	0.30	0.60	0.40	0.60
4	0.50	0.30	0.70	0.20	0.10	0.40
5	0.30	0.20	0.50	0.60	0.80	0.70
6	0.70	0.60	0.40	0.10	0.30	0.20

3种不同的作战想定, 见表2。假定在3种不同的作战想定中,  $r_k = 1$ , Lagrange 乘子的初始值设置为:  $\lambda_1(0) = 10.0, \lambda_2(0) = 1.0, \lambda_3(0) = 5.0, \lambda_4(0) = 10.0, \lambda_5(0) = 0.2$ 。TBM 目标  $k \in K$  的威胁程度为  $S_k$  的值均取1。

表2 作战想定参数

Tab. 2 Three battle scenarios

作战想定	$R_k$	$B_m$	$\varphi$	拦截弹使用量	期望漏拦概率 $E_p/6$	迭代时间/s
想定1	1	1	6	6	0.267	80
想定2	1	2	6	6	0.183	82
想定3	2	2	12	12	0.078	245

最终的仿真结果见表3。

表 3 3 种不同作战想定的最终火力分配结果

Tab. 3 Final assignment maps for three battle scenarios

		作战想定																
		想定 1					想定 2					想定 3						
$k$	1	0	0	0	0	0	1	0	0	0	0	0	1	0	0	0	0	0
	0	0	0	1	0	0	0	0	1	0	0	0	0	0	1	1	0	0
	0	0	0	0	0	1	0	1	0	0	0	0	0	1	0	1	0	0
	0	0	1	0	0	0	0	0	1	0	0	0	0	0	1	0	1	0
	0	0	0	0	1	0	0	0	0	0	1	0	0	0	0	0	1	1
	0	1	0	0	0	0	1	0	0	0	0	0	1	1	0	0	0	0

典型的状态轨迹见图 1 - 图 3。图 1 显示了想定 1 的典型几个神经元的状态空间轨迹,从图 1 中可以看出当迭代次数为 20 - 25 时,状态空间轨迹波动起伏较大。图 2 显示了想定 2 中的第 3 列的 6 个神经元的状态轨迹;图 3 显示了想定 3 中,第 5 行的 6 个神经元的状态空间轨迹。图 4 中绘出了想定 3 中,典型的  $V_1$ ,  $V_2, \frac{dV}{dt}$  曲线。

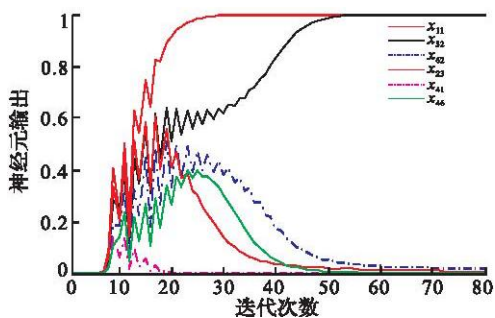


图 1 想定 1 典型神经元输出

Fig. 1 Trajectories of neuron output signals in battle scenario 1

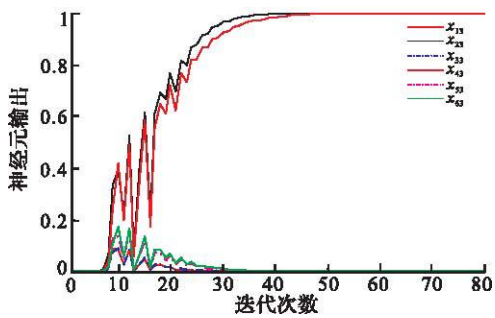


图 2 想定 2 典型神经元输出

Fig. 2 Trajectories of neuron output signals in battle scenario 2

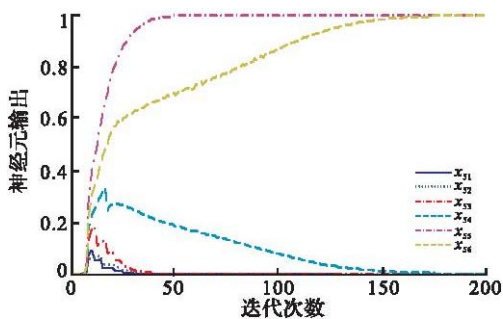


图 3 想定 3 典型神经元输出

Fig. 3 Trajectories of neuron output signals in battle scenario 3

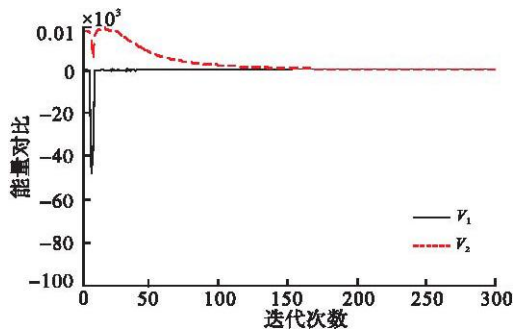


图 4  $V_1$  和  $V_2$  值对比

Fig. 4 Variation of  $V_1$  and  $V_2$  in time in scenario 3

经过仿真验证,  $\frac{dV}{dt}$  是一个负数,仅当收敛于稳态时,  $\frac{dV}{dt} = 0$ 。从图 4 中可以看出  $V_1$  绝对值远远大于  $V_2$  值,且  $V_2$  收敛于 0 的速度快于  $V_1$  的收敛速度,说明所设计的 Hopfield 网络在收敛于稳态之前便限制状态变量到约束条件内。进行多次仿真验证,可以证明图 4 中的显示结果不是一个特例,反映了所设计的连续 Hopfield 神经网络的一个趋势。

神经元的初始状态  $U(0)$  对于网络收敛和稳定的影响较大。通过多次仿真分析,在神经元的初始状态  $U(0)$  取值使神经元的输出  $X(0) = 0$  时,网络收敛和稳定性最好。

## 5 结束语

本文应用 Hopfield 网络求解了反导火力分配问题。证明了 Hopfield 网络求解反导火力分配的收敛性和稳定性。应用实例验证了应用 Hopfield 网络求解反导火力分配的实时性。基于 Hopfield 网络求解反导火力分配问题可以提高反导火力分配问题的收敛性、容错性、鲁棒性,为实现反导战场管理智能化提供了有效的途径。

### 参考文献:

- [1] Hopfield J, Tank D W. Neural computation of decisions in optimization problems[J]. Biological cybern, 1985, 52(16): 141 - 152.
- [2] Talavan, Yanez P M. Parameter setting of the hopfield network applied to TSP[J]. Neural networks, 2002, 15(32): 363 - 373.
- [3] Wilson G W, Pawley G S. On the stability of traveling salesman problem algorithm of hopfield and tank[J]. Biological cybern, 1988, 55(6): 63 - 70.
- [4] Baliyer S V, Niranjana M, Fallside F. A theoretical investigation into the performance of hopfield model[J]. IEEE trans neural networks, 1990, 1(15): 204 - 215.
- [5] Matsuda S. Optimal hopfield network for combinatorial optimization with linear cost function[J]. IEEE trans neural networks, 1999, 9(6): 1319 - 1330.
- [6] Kanmger B. Dynamical stability and parameter selection in neural optimization[J]. Proceedings int joint confererce on neural networks, 1992, 38(4): 566 - 771.
- [7] Brandt R D, Wang Y, Laub A J, et al. Alternative networks for solving the travelling salesman problem and the list - matching problem[J]. Proceedings int joint confererce on neural networks, 1988, 34(2): 333 - 340.
- [8] 史忠植. 神经网络[M]. 北京: 高等教育出版社, 2009.  
SHI Zhongzhi. Neural networks[M]. Beijing: Publishing company of higher education, 2009. (in Chinese)
- [9] Zhang M L, Zhou Z H. Improve multi - instance neural networks through feature selection[J]. Neural processing letters, 2004, 19(1): 1 - 10.
- [10] Zhang M L. Ensembling neural networks; many could be better than all[J]. Artificial intelligence, 2002, 137(1,2): 239 - 263.

(编辑: 田新华)

## A Study of the Optimal Anti - missile Firepower Distribution Based on Continuous Hopfield Neural Networks

FANG Yi - hong<sup>1</sup>, LI Wei - min<sup>1</sup>, ZHOU Xiao - guang<sup>1</sup>, ZHONG Qiu<sup>2</sup>

(1. Missile Institute, Air Force Engineering University, Sanyuan 713800, Shaanxi, China; 2. Air Force Equipment Department, Beijing 100843, China)

**Abstract:** Anti - missile firepower distribution is one of the key tasks of BM, the firepower distribution model and the efficiency of solving it affect the result of the anti - missile defense warfare directly. The research on anti - missile firepower distribution is done, and the model of anti - missile firepower distribution is built. This paper presents a continuous Hopfield neural network - based algorithm for the optimization of the anti - missile firepower distribution and analyzes the convergence and stability. Finally, three representative examples are solved by the method presented in this paper, and the numerical results are present.

**Key words:** neural network; anti - missile; firepower distribution